

アスファルト混合物の締固め過程に関する一考察

室蘭工業大学 学生員 ○石川 徹
 室蘭工業大学 正員 新田 登修
 室蘭工業大学 学生員 後藤 謙

Iはじめに

道路の建設及び維持修理にアスファルトを利用することによって得られる便益はいろいろ考えられるが、これらの便益はすべてアスファルト混合物が十分に締固められてはじめて得られるものである。特に最近のように交通量、交通荷重の増大が著しくなると、締固めは重要な要求の一つとして考えなければならない。

しかるに、現場におけるローラー軋圧現象は種々の影響を受けて極めて複雑な挙動を示し、その機構の解明を困難にしている。このような状態の中で、配合設計に用いられる混合物の供試体はその機構が現場軋圧とは全く異なる方法で作られ、締固め密度もこれまで基準にして管理されており、極めて便宜的に取扱われている。

このようないくつか問題点を解消し、合理的な締固め法を確立するには、ローラー軋圧による締固め過程を把握することが必要であり、その結果に基づいて締固め管理基準が必要である。

このようないくつか事から本報告では、締固め効果に関する内的条件であるアスファルト混合物の性質、換言すれば締固め抵抗を力学試験から求め、一方、外的条件としてローラー荷重、軋圧速度をとりあげ、それが締固め挙動におよぼす影響を試作レトロ型ローラーを用いて実験的に検討し、両者の関係を対比化しながらローラー軋圧時の締固め過程に対する考察を試みたものである。

II アスファルト混合物の締固め抵抗

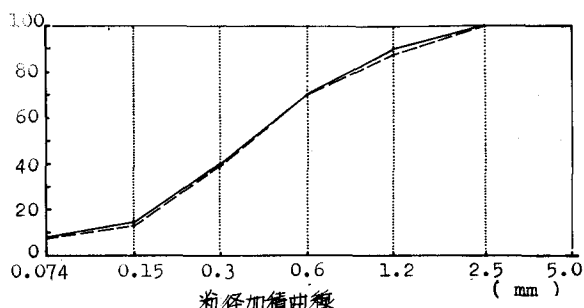
アスファルトペーパーで敷ならされた混合物の空隙率はほぼ15%前後になるといわれ、締固め過程はこの空隙率を上げて空隙率約3%前後まで減少する過程であり、これに温度低下によるアスファルト粘度の増大と相まって次第に締固め抵抗が増大することになる。このようないくつか施工時特徴軋圧時のようトルーズかフ低粘度の状態にある混合物の力学試験は供試体の成型上普通

に用いられている試験法を用い得ない点、試作レトロ型円筒型のせん断試験装置を用いてその力学性状を評価した。

II-1 混合物配合と実験条件

締固め荷重による混合物の移動は基本的にはアスファルトセメント部分の移動に支配され、粗骨材はセメント部分と共に動き、空隙率の減少によって粗骨材相互の干渉がはじまり締固め抵抗の増加に寄与すると、いう考え方から、まず次の二つ粘度配合のアスファルトモルタルを対象とした。

実験装置は外円筒を回転させる同軸2重円筒型のせん断装置であり、アスファルト粘度を $10^1 \sim 10^4$ ボアズの範囲で6段階に、供試体空隙率を6~18%の範囲で変化させ、角ひずみ速度は0.012~0.065 sec⁻¹の範囲で4段階に変化させて実験を行った。



II-2 せん断強度について

① せん断強度と空隙率の関係

図-1に示されているように、 γ - et 曲線やピークがある場合にはピーク時のせん断応力、ピークが不明瞭な場合には曲線変化が小さくなったり点のせん断応力をせん断強度としてこれと空隙率の関係をプロットしたのが図-2である。空隙率が減少するにつれて、せん断強度は増大するが空隙率11%付近でせん断強度が急激に増大する。これは混合物がLooseな状態からdenseな状態へ移る過程において、骨材のかみ合

りせ抵抗が連続的に増大するのではなくて才連続に増大することを意味し、その境界が空隙率 11% 附近であると推測される。

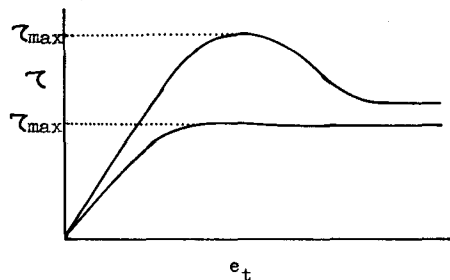


図-1 セン断強度とせん断ひずみの関係

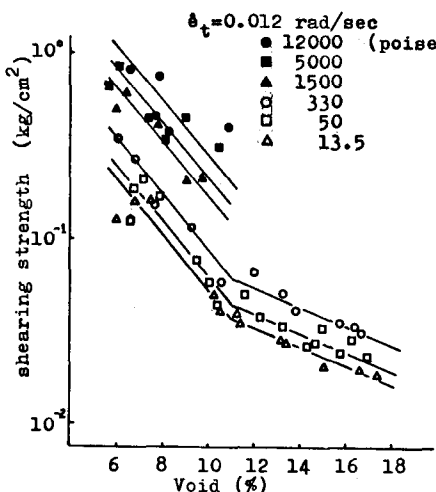


図-2 セン断強度と空隙率の関係

②せん断強度とアスファルト粘度の関係

図-3 に示されているようにアスファルト粘度が増大するにつれて、せん断強度は増大するが、330~1500 Poise の間で増加の割合が変化がみられる。

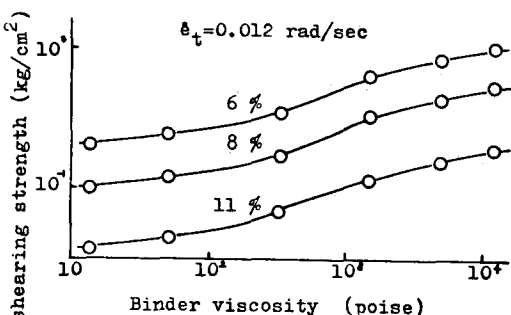


図-3 セン断強度とアスファルト粘度の関係

③せん断強度といずみ速度の関係

図-4、図-1 は γ_{max} といずみ速度の関係をアスファルト粘度と空隙率をパラメータとして、ホレムのいずみ速度が大きくなるにつれて γ_{max} は直線的に増大し、その割合はアスファルト粘度が高く空隙率が低くなるほど大きいが 13.5, 50 poise ではいずみ速度の影響程度に変化はない。また試験温度 20°C で密目サンドシート、アスコンを対象とし三輪圧縮せん断試験において、 $\gamma - de/d\gamma$ は直線的関係があるとの報告があることから、この比例関係は、比較的広範囲な混合物の状態に対して言えると思われる。

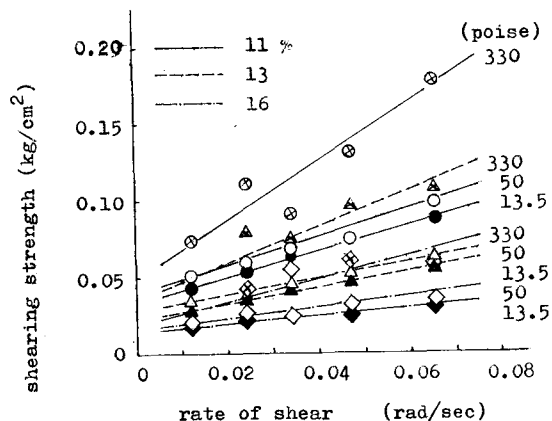


図-4 セン断強度といずみ速度の関係

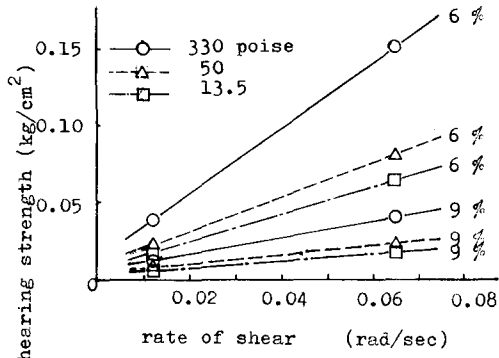


図-5 セン断強度といずみ速度の関係

④ Mass Viscosity と初期抵抗について

載圧時の如き高温でかつ高空隙率のアスファルト混合物の特性を mass viscosity (η_m) や初期抵抗 (γ_0) の概念を導入し、載圧性状を解析する上で η_m , γ_0 を定量的に得ることが必要である。 η_m とはアスファルト混合物とし

この粘度を表わすものであり、Nijboerが三軸試験の結果より $\gamma = \eta_m \cdot \frac{d\dot{\epsilon}}{dt} + \dot{\epsilon}_t$ の関係式を示している。本実験においても図-4より γ_{max} と $\dot{\epsilon}_t$ との直線的関係が得られることから differential viscosity of mass とこの η_m を直線勾配で表わすことができる。図-5 で示される γ_{max} と $\dot{\epsilon}_t$ の関係は空隙率 6~10% でも直線的となると仮定した。では、混合物のもつ内部抵抗があり、ひずみ速度に影響を受けているのである。図-4, 5 の $\dot{\epsilon}_t = 0$ のときのせん断強度が初期抵抗 K として得られる。 η_m , $\dot{\epsilon}_t$ とともにアスファルト粘度 (η_0)、空隙率及び骨材体積率 (C_v) によって決定されるものである。

i) Mass Viscosity に関する実験式

空隙率約 3% の混合物に適用される Heukelom の式を参考にして載圧時の混合物にについても適用できる実験式を得ようとした。空隙率での影響を加味するため骨材体積率 (C_v) を $C_v' = C_v / (1 + \text{Void})$ とし $K = C_v' / (1 - C_v')$ とおいて $(\eta_m / \eta_0)^{\frac{1}{n}} = 1 + \alpha K / n$ から実験値を代入し n を算出された。これは処理し易いよう $n = 15$ と定めた。

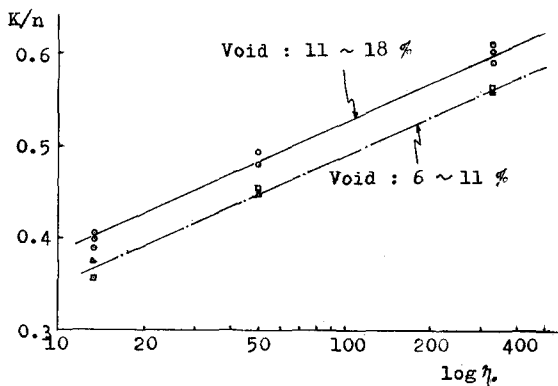


図-6 K/n とアスファルト粘度の関係

図-6 は実験値から得た K/n とアスファルト粘度 (η_0) の関係を K をパラメータとして示したものであるが、空隙率 6~11% と 11~18% で 2 つの直線とは、て表われている。これは図-2 に示されるように、空隙率 11% において骨材のかみ合ひの抵抗が増大するため生じるものと考えられ、 $C_v' = C_v / (1 + \beta(\text{void}))$ とし $6 \sim 11\%$ では $\beta = 0.8$, $11 \sim 18\%$ では $\beta = 1$ と空隙率の影響を変えることで 1 つの直線として処理し得ると思われる。Heukelom の式は、空隙率約 3% の状態に適用できるもので空隙率の影響はない。 β が低空隙率になると程、小さな値を

取るのはそのためである。従って実験式は次のようになる。

$$\frac{\eta_m}{\eta_0} = (1 + 15 \cdot \frac{K}{n})^{\frac{1}{15}}, \quad n = \frac{7.14 K}{\log 51.8 \eta_0}$$

$$K = \frac{C_v'}{1 - C_v'} = \frac{C_v}{1 + \beta(\text{void}) - C_v}$$

$$\begin{cases} (\text{void}) \geq 11\% & \beta = 1.0 \\ (\text{void}) < 11\% & \beta = 0.8 \end{cases}$$

これをグラフにすると図-7, 8 であり実験値とかなり一致している。

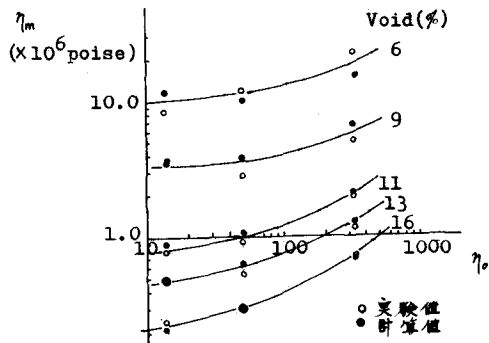


図-7 η_m と η_0 の関係

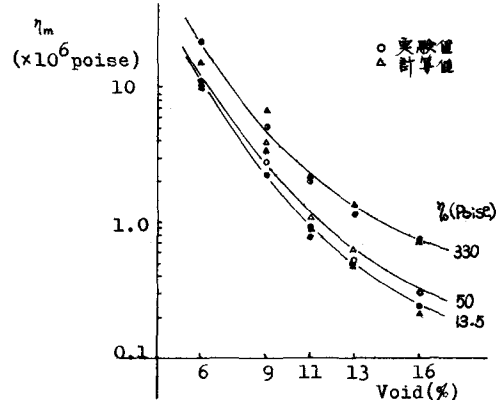


図-8 η_m と Void の関係

図-7 より η_m は空隙率程アスファルト粘度の影響を大きく受け低空隙率になると K 従いそれほど依存しない。また図-8 より低空隙率程空隙率の依存性が大きい。ここで $\gamma_{max} = \eta_m \cdot \dot{\epsilon}_t + \dot{\epsilon}_t$ の関係を考慮すると、図-2, 図-3 の γ_{max} -Void の関係、 γ_{max} - $\dot{\epsilon}_t$ の関係での特徴をそのまま η_m で換えることがなりきりである。

ii) 初期抵抗に関する実験式

図-4, 5 から得られる $\dot{\epsilon}_t$ とアスファルト粘度 (η_0)

との関係を空隙率をパラメータとしてグラフに示すと図-9のようになる。

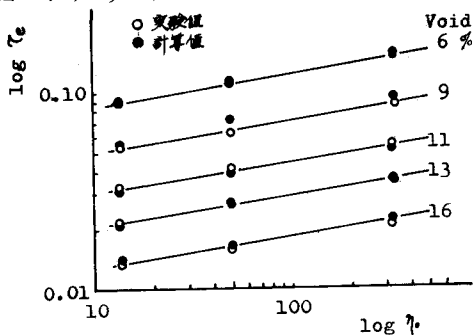


図-9 初期抵抗とアスファルト粘度の関係
このグラフより空隙率一定の場合の增加率は等しく、その比は空隙率には無関係であることから次の実験式が得られる。

$$\log \eta_0 = 0.136 \log K - a$$

a は空隙率と骨材体積率とで決定されると考えられるから η_0 の実験式を述べて K との関係をグラフに示すと図-10のようになる。

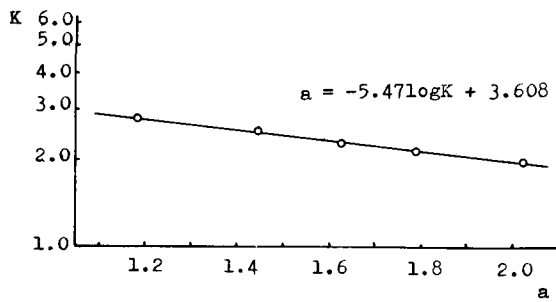


図-10 K と α の関係

従って K と α には、一定の関係があり次の式が得られる。

$$\alpha = -5.47 \log K + 3.608$$

以上の結果から初期抵抗 K は次の式のようになる。

$$K = \frac{e^{5.47} \cdot \eta_0^{0.136}}{4.06 \times 10^3}$$

これをグラフにして実験値と比較しての図-9である。

III 小型模型ローラによる室内実験

転動荷重下での締固め過程において、転圧線荷重と転圧速度の締固め効果に及ぼす影響を成作して小型模型ローラコンパクターを用いて検討した。

III-1 実験要領

実験試料として、骨材粗度配合せん断試験のものと同じでペインダー含有量 9%。実験方法は小型模型ローラの型枠に試料を詰め、直径 26 cm のローラドライムに転圧力を与え、一方向転圧を行ない各転圧毎の沈下量を測定した。実験条件は敷きはらし厚さ 7.0 cm、初期空隙率 15%，締固め粘度 110 poise、転圧線荷重 2.2 ~ 4.24 kN/cm、転圧速度を 4.2 ~ 12.0 の範囲で 3 段階変化させた。

III-2 締固め効果について

正常の締固めに対して、転圧層の厚さの変化と空隙率の変化は図-11に示されるよう

K 直線的関係があることから

各転圧後の空隙率 (A.V.) を次式から算定した。

$$A.V. = I.V. - \frac{I.V. - F.V.}{I.H. - F.H.} (I.H. - A.H.)$$

I.V.: 初期空隙率

F.V.: 最終空隙率

I.H.: 初期厚さ

F.H.: 最終厚さ

A.H.: 各転圧後の厚さ

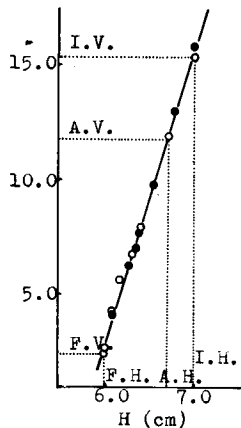


図-11 Void と H の関係

① 転圧線荷重、転圧速度と締固め効果

図-12 は転圧速度を一定とし、転圧回数をパラメータとして、空隙率と転圧線荷重の関係を示したものである。同じ転圧回数で転圧線荷重が大きいほど低い空隙率が得られることからこの実験範囲では転圧線荷重が大きい方が締固め効果が大きいと言える。また図-13 は転圧線荷重を一定とし、転圧回数をパラメータとして空隙率と転圧速度の関係を示したものである。同じ転圧回数で転圧速度が大きい方が若干低い空隙率が得られるが、あまり速度の影響は顕著に現われてない。以上のことから締固め効果に影響を与える要因としては、転圧線荷重が主であり転圧速度は二次的のはものであると考えられる。

IV 締固め過程に関する考察

IV-1 締固め過程における締固め抵抗と外力の関係

II のせん断試験結果から、この種のアスファルト混和物の締固め抵抗は、 η_0 と η_e によって $\gamma_{max} = \eta_0 \cdot \eta_e + \gamma_0$ で表わされ、アスファルト混和物を締固めるには、混和物中

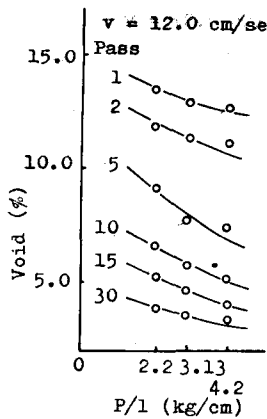


図-12 Void と空隙率

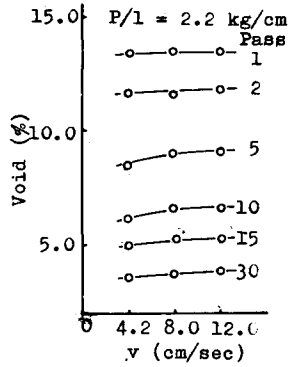


図-13 Void と v の関係

の骨材のかみ合せ抵抗と骨材間のアスルトオラーの粘着力からなる締固め抵抗(γ_{max})K打ち勝つだけの力を加えなければ締固められないと考へると、混食物が締固まる条件は混食物に作用する外力を f とすると、
 $f \geq \gamma_{max}$ であり $\gamma_{max} = \eta_m \dot{e}_t + \gamma_e$ から

$$F = \frac{f - \gamma_e}{\eta_m} \cdot \frac{1}{\dot{e}_t} \geq 1$$

である。 η_m では混食物の固有値であると考へられ
IIより、 C_r, η_e, Void から決定される。

混食物を締固めて場合に転圧1回目で空隙率が $A_1\%$ から $A_2\%$ へ変化したとすると、空隙率 $A_1\%$ における締固め抵抗と f の関係は

$$\frac{f - \gamma_{e1}}{\eta_{m1}} \cdot \frac{1}{\dot{e}_{t1}} \geq 1$$

でありこの時の空隙率 $A_1\%$ における締固め抵抗と f の関係は

$$\frac{f - \gamma_{e1}}{\eta_{m1}} \cdot \frac{1}{\dot{e}_{t1}} < 1$$

である。次に転圧2回目で空隙率 $A_1\%$ から $A_2\%$ へ変化したとすると、空隙率 $A_1\%$ における締固め抵抗と f の関係は

$$\frac{f - \gamma_{e2}}{\eta_{m2}} \cdot \frac{1}{\dot{e}_{t2}} \geq 1$$

であり、この時の空隙率 $A_2\%$ における締固め抵抗と f の関係は

$$\frac{f - \gamma_{e2}}{\eta_{m2}} \cdot \frac{1}{\dot{e}_{t2}} < 1$$

である。以下同様にこの関係は混食物の締固めが終了

するまで続していくことから転圧回数において

$$\frac{f - \gamma_{ei}}{\eta_{mi}} < \dot{e}_{ti} \leq \frac{f - \gamma_{ei-1}}{\eta_{mi-1}}$$

転圧 $i+1$ 回目において

$$\frac{f - \gamma_{ei+1}}{\eta_{mi+1}} < \dot{e}_{ti+1} \leq \frac{f - \gamma_{ei}}{\eta_{mi}}$$

.

.

.

となり \dot{e}_t は

$$\dot{e}_{t0} > \dot{e}_{t1} > \dots > \dot{e}_{ti-1} > \dot{e}_{ti} > \dot{e}_{ti+1} > \dots$$

で、転圧回数が増大するにつれて減少する。今、転圧 i 回目以降の転圧において空隙率に変化がないならばとするならば、 \dot{e}_t は

$$\underbrace{\dot{e}_{t0} > \dot{e}_{t1} > \dots > \dot{e}_{ti-1} > \dot{e}_{ti}}_{\text{締固め過程}} = \dot{e}_{ti+1} = \dots \underbrace{\dot{e}_{ti+1}}_{\text{締固め終了}}$$

となり転圧 i 回目以降の \dot{e}_t は一定となる。

IV-2

模型ローラ実験によつて得られた転圧回数と空隙率の関係を示すものが図-14である。このデータにおける各転圧毎の混食物の空隙率に対応する η_m, γ_e をIIで確立された実験式から求め $f - P/l$ として \dot{e}_t との関係を求める。図-14は転圧速度、12 cm/sec で転圧締荷量 2.2 kg/cm², 3.13 kg/cm², 4.24 kg/cm²に対する \dot{e}_{ti} との関係を両対数グラフで示したものである。

\dot{e}_{ti} は $\frac{P/l - \gamma_{ei}}{\eta_m} < \dot{e}_{ti} \leq \frac{P/l - \gamma_{ei-1}}{\eta_{mi-1}}$ の幅(図-15)

中の各転圧回数の●印と○印の範囲)で与えられる。

グラフより転圧回数 2-10 回の範囲で、転圧締荷量 2.2 kg/cm², 3.13 kg/cm², 4.24 kg/cm² の 3 条件を満足

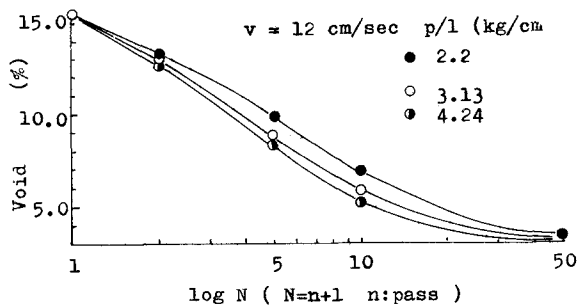


図-14 転圧回数と空隙率の関係

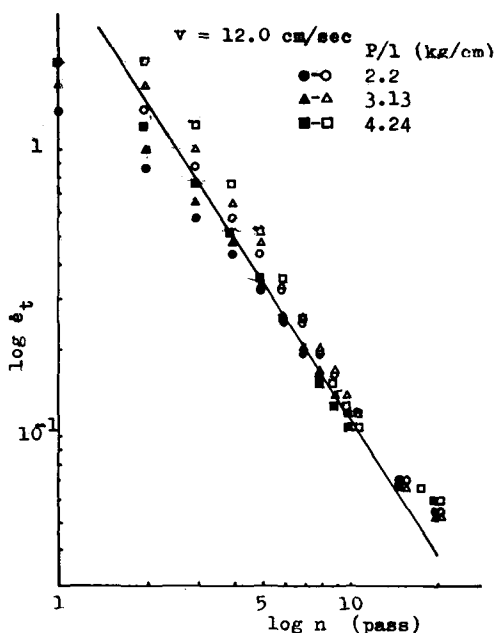


図-15 \dot{e}_t との関係

させるよりは \dot{e}_t との関係を直線関係で示すと、

$$\dot{e}_t = \frac{4.5}{n^{1.58}}$$

が得られる。しかし、締固めが終了するにつれて $\frac{P/l - \gamma_e i}{\eta_m}$ は $\dot{e}_t = \frac{4.5}{n^{1.58}}$ の直線から次第に逸脱

していく。次に

$$F_i = \frac{P/l - \gamma_e i}{\eta_m} \cdot \frac{n^{1.58}}{4.5}$$

に各転圧後の η_m , γ_e を代入して F_i を求め F_i との関係をグラフに示すと図-16になる。

このグラフから $i = 16$ 以上で F_i が急増する。その時

$F_i = 1.2$ となり F_i 値は固定化される。従って F_i を採用することにより締固め抵抗とローラ荷重、転圧回数との関連性を見い出すことができそうだ。

V あとがき

アスファルト舗装の締固め研究の一環として、アスファルト粘度、空隙率等を広範囲に変化させた場合のせん断試験の結果からアスファルト混合肥の固有値である、 η_m , γ_e を定量化し、締固め過程における混合物の挙動を知る一年段とすることが可能と思われる。

すなはち、締固めによる空隙率の減少に伴う、 η_m , γ_e の変化を知ることによりローラ荷重や転圧回数等を、加味して考えることで締固め抵抗に関する解析が可能であると思われる。今後せん断及び転圧試験条件を広範囲に取ることにより、締固め過程の解析を確立していくことを考えていく。

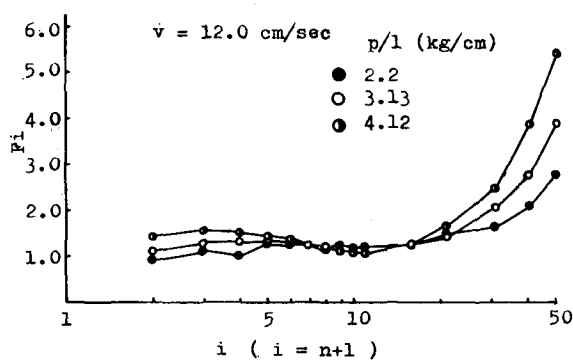


図-16 F_i との関係